

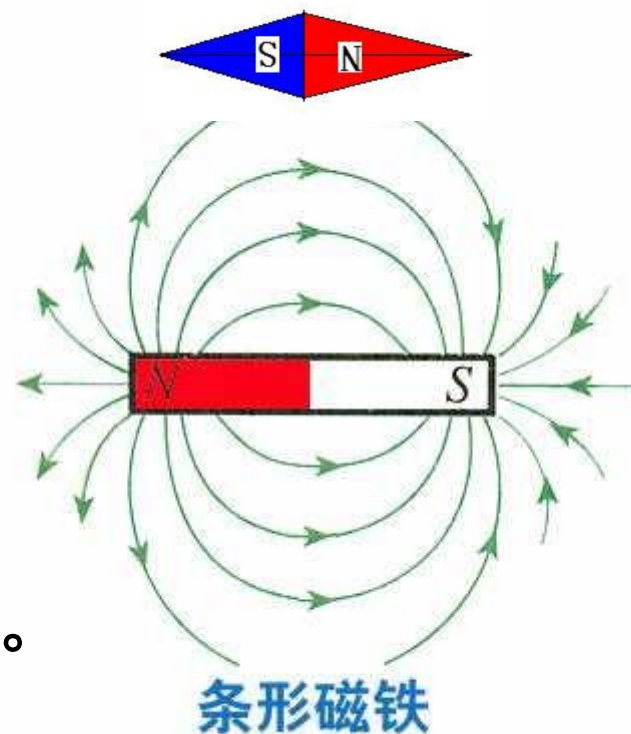
6.3.1 磁感应线

磁感应线： 描述磁场的空间分布。

1. 磁感应线上任一点的切线方向都与该点的磁感应强度的方向一致。

2. 垂直通过单位面积的磁感应线条数等于该处磁感应强度 B 的大小。

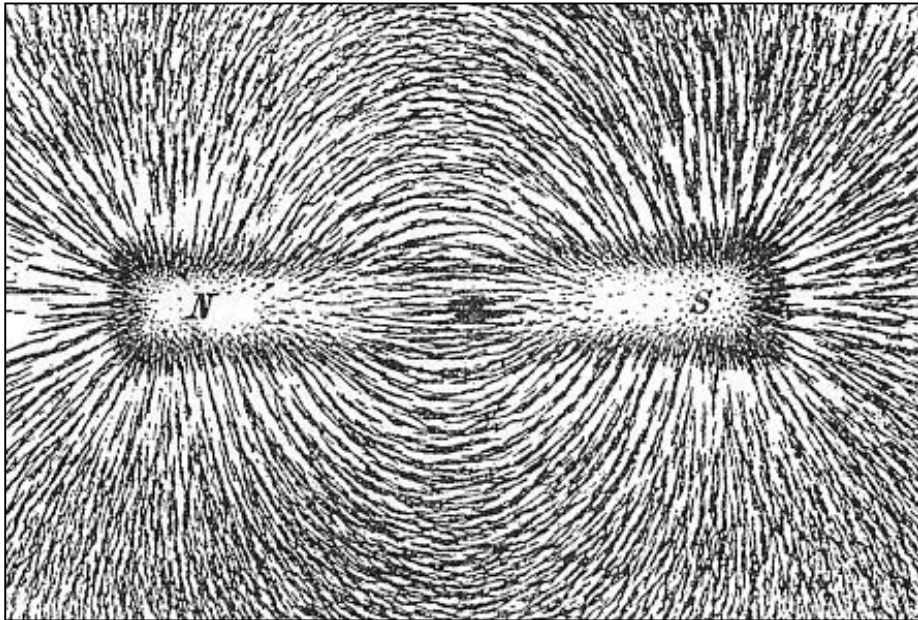
磁针N极受力方向，为磁感线方向。



6.3.1 磁感应线

磁感应线的特点：

- 1、磁感应线是连续的，不相交。
- 2、磁感应线是围绕电流的一组闭合曲线，无始无终。



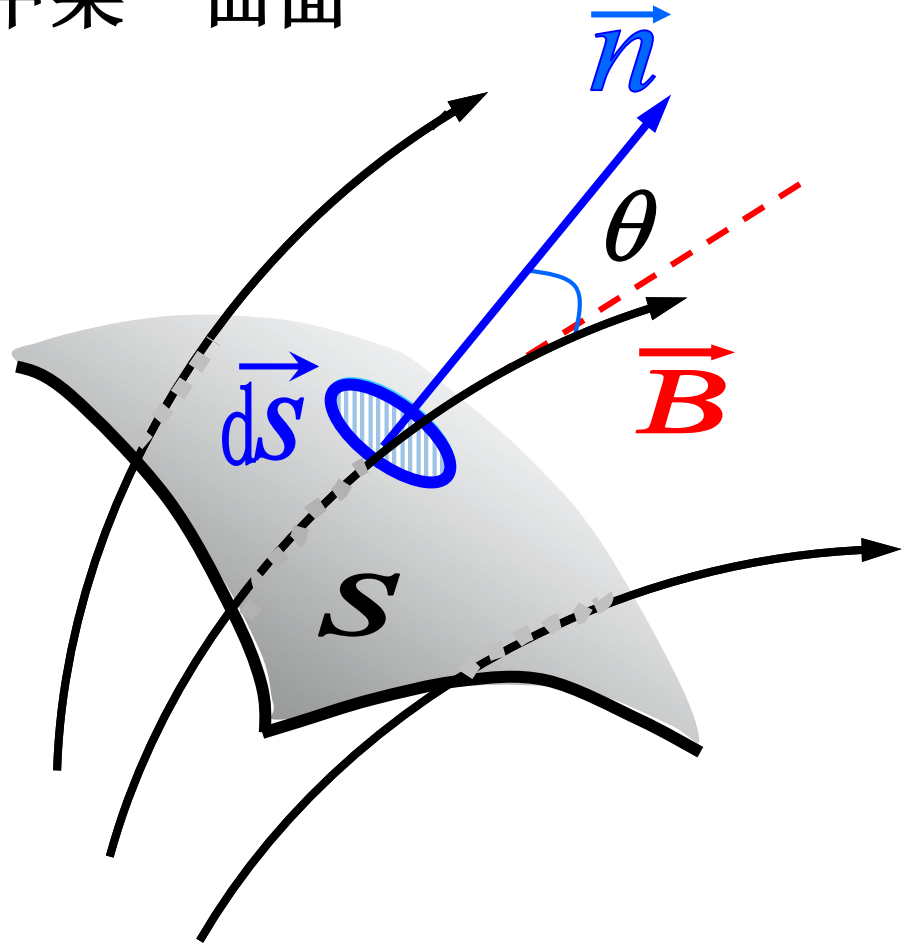
6.3.1 磁通量

磁通量 Φ ：垂直穿过磁场中某一曲面的磁感应线条数。

$$d\Phi = B dS_{\perp} = \vec{B} \cdot d\vec{S}$$

单位：**Wb**, $1\text{Wb}=1\text{T m}^2$

$$\Phi = \int_S \vec{B} \cdot d\vec{S}$$



6.3.1 磁场中的高斯定理

磁场线都是闭合曲线

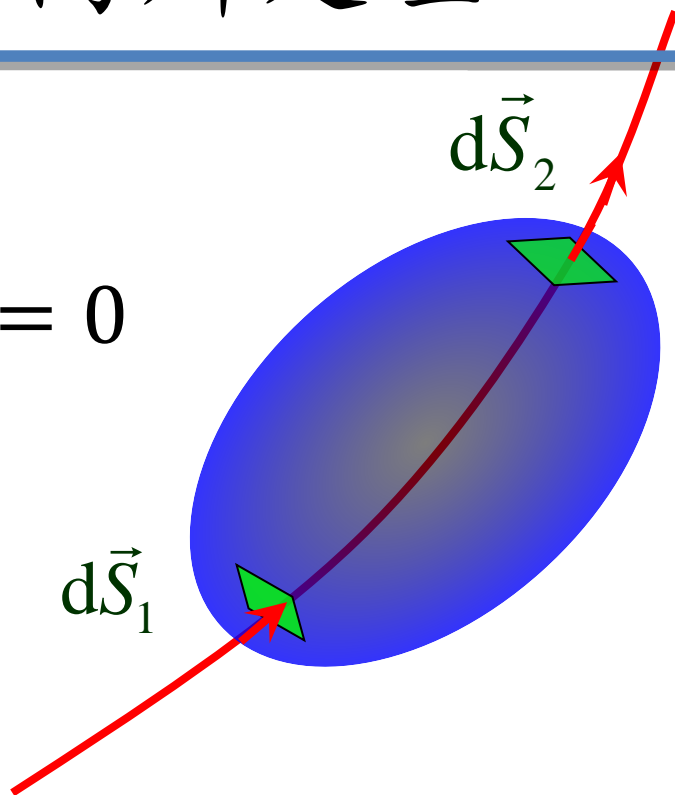
$$\oint_S \vec{B} \cdot d\vec{S} = 0 \quad \oint_S \vec{H} \cdot d\vec{S} = 0$$

磁场的高斯定理：通过任意闭合曲面的磁通量等于零。

磁场是无源场（涡旋场）。

电场有电荷，而磁场无磁单极子。

1982年2月14日，在美国斯坦福大学物理系做研究的布拉斯·卡布雷拉宣称他利用超导线圈发现了磁单极粒子，但无法重复。



6.3.1 磁场中的高斯定理例题

恒定磁场散度为零：

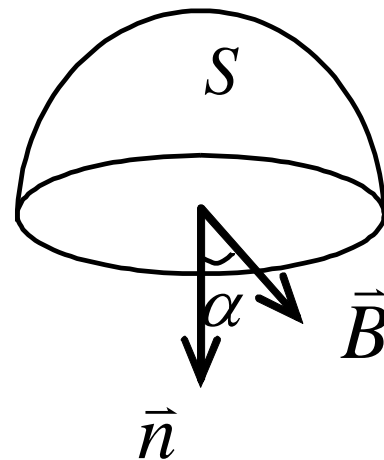
$$\oint_S \vec{B} \cdot d\vec{S} = 0 \qquad \oint_S \vec{H} \cdot d\vec{S} = 0$$

静电场的旋度为零：

$$\oint \vec{D} \cdot d\vec{l} = 0 \qquad \oint \vec{E} \cdot d\vec{l} = 0$$

例题：在磁感强度为 B 的均匀磁场中作一半径为 r 的半球面 S ， S 边线所在平面的法线方向单位矢量与磁感应强度的夹角为 α ，则通过半球面 S 的磁通量(取弯面向外为正)为

$$-\pi r^2 B \cos \alpha$$

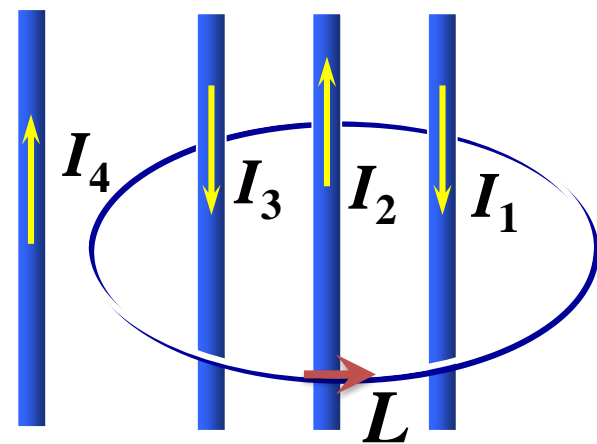


6.3.2 安培环路定理

恒定磁场的环路积分：（可由毕-萨定律推导）

$$\oint_L \vec{B} \cdot d\vec{r} = \sum \mu_0 I_i \quad \oint_L \vec{H} \cdot d\vec{r} = \frac{1}{\mu_0} \sum \mu_0 I_i \quad (\vec{B} = \mu \vec{H})$$

电流的方向： 电流方向与积分绕行方向构成右手螺旋关系时电流为正。



复习，静电场的通量：

$$\oint_S \vec{D} \cdot d\vec{S} = \sum_{i=1}^n q_i \quad \oint_S \vec{E} \cdot d\vec{S} = \frac{1}{\epsilon_0} \sum_{i=1}^n q_i \quad \vec{D} = \epsilon \vec{E}$$

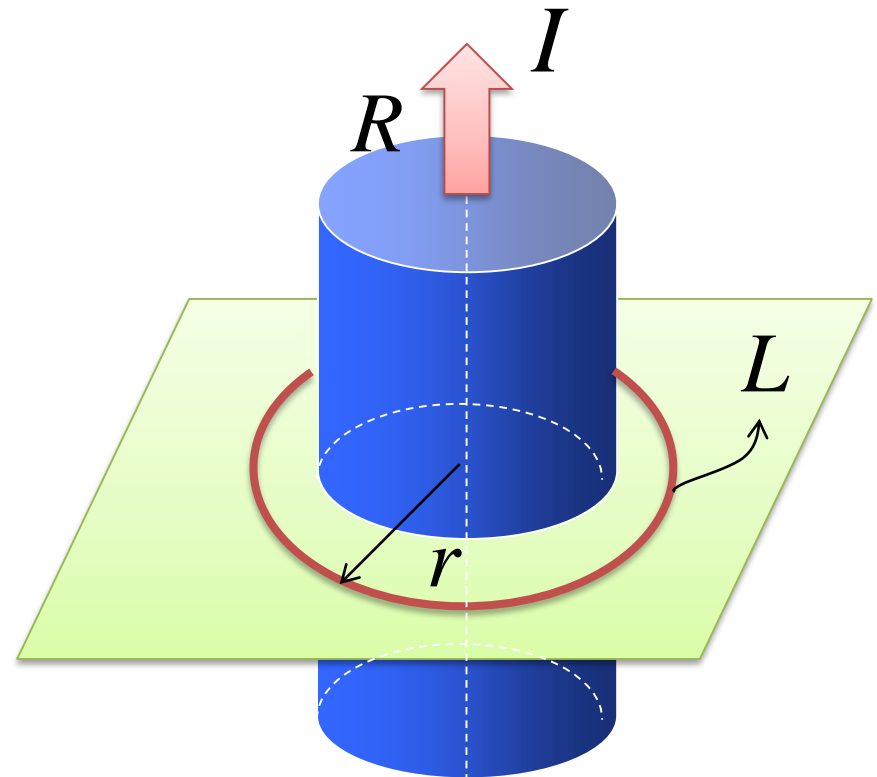
6.3.3 安培环路定理应用

例：横截面半径为 R 的“无限长”柱形导体，求在均匀通过恒定电流 I 时，在导体内外所激发的磁感应强度 B 。

(1) $r > R$

$$\oint_L \vec{B} \cdot d\vec{r} = B \cdot 2\pi r = \mu_0 I$$

$$B = \frac{\mu_0 I}{2\pi r}$$



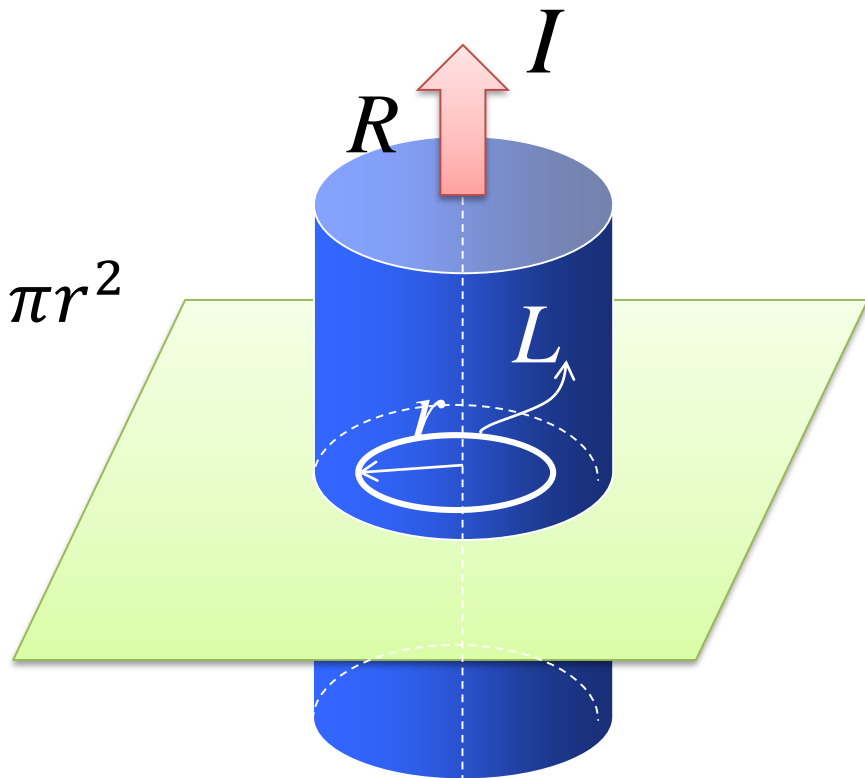
6.3.3 安培环路定理应用

例：横截面半径为 R 的“无限长”柱形导体，求在均匀通过恒定电流 I 时，在导体内外所激发的磁感应强度 B 。

(2) $r < R$

$$\oint_L \vec{B} \cdot d\vec{r} = B \cdot 2\pi r = \mu_0 \frac{I}{\pi R^2} \pi r^2$$

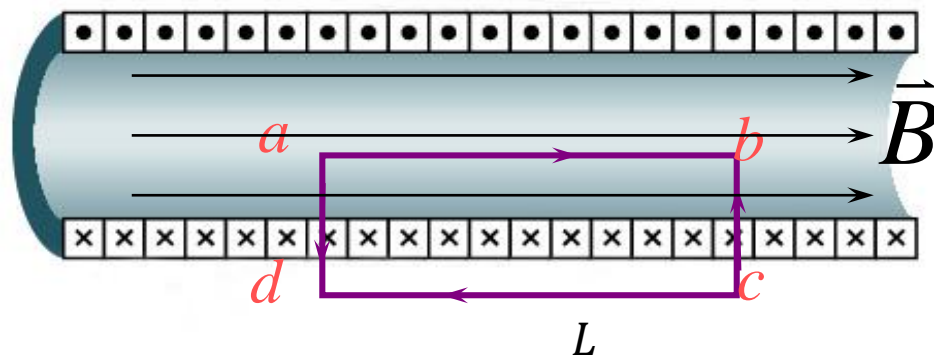
$$B = \frac{\mu_0 I}{2\pi R^2} r$$



6.3.3 安培环路定理应用

例：求“无限长”直载流螺线管内部的磁感应强度。

已知单位长度上线圈匝数为 n ，通过电流为 I 。



电流分布具有对称性，管内磁场平行轴线方向，管内外与轴等距离处 \vec{B} 相等，管外磁场近似为零。

$$\oint_L \vec{B} \cdot d\vec{r} = \int_a^b \vec{B} \cdot d\vec{r} + \int_b^c \vec{B} \cdot d\vec{r} + \int_c^d \vec{B} \cdot d\vec{r} + \int_d^a \vec{B} \cdot d\vec{r}$$

$\vec{B} \perp d\vec{r}$ $\vec{B} = 0$ $\vec{B} \perp d\vec{r}$

6.3.3 安培环路定理应用

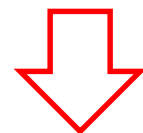
$$\oint_L \vec{B} \cdot d\vec{r} = \int_a^b \vec{B} \cdot d\vec{r} = BL$$

穿过矩形环路的电流强度: $\sum I_i = InL$

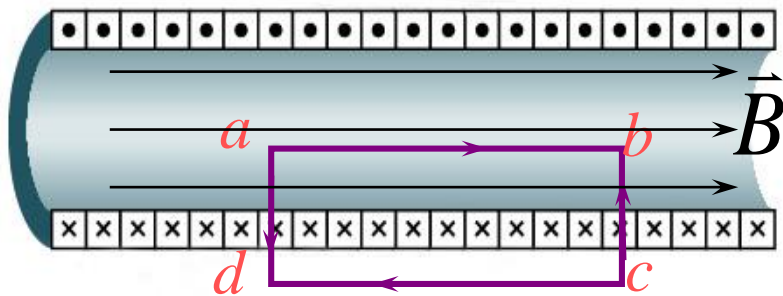
安培环路定理:

$$\oint_L \vec{B} \cdot d\vec{r} = \mu_0 \sum I_i$$

$$BL = \mu_0 InL$$

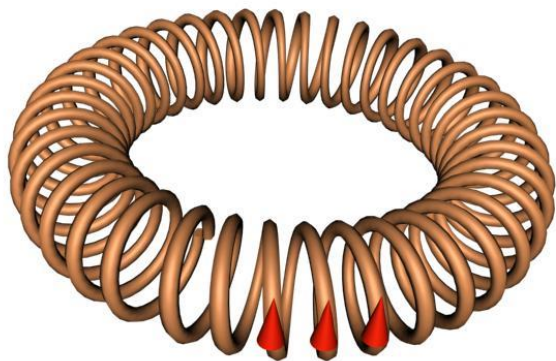


$$B = \mu_0 nI$$



6.3.3 安培环路定理应用

例：求密绕而成的螺线环内部的磁感应强度。

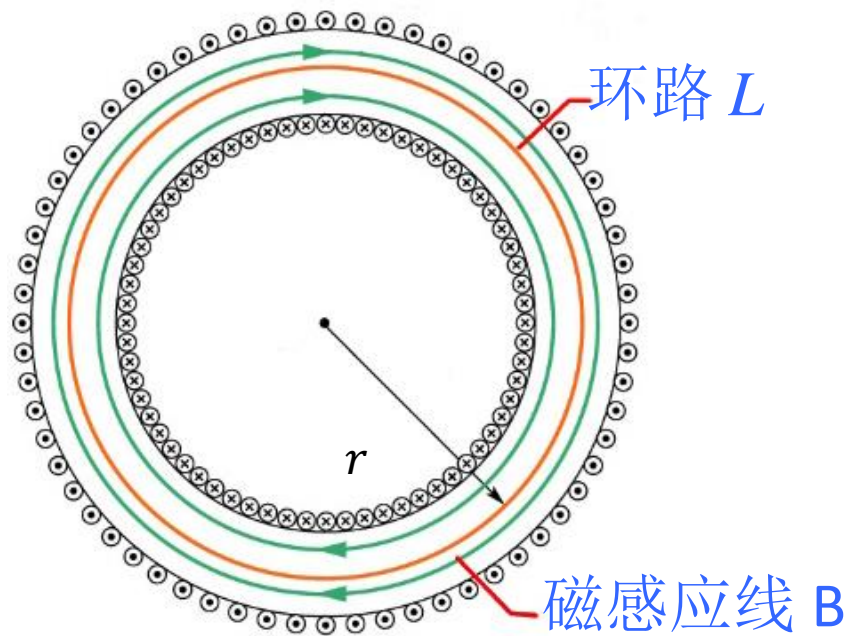


$$\oint_L \vec{B} \cdot d\vec{r} = \mu_0 \sum I_i$$

$$B \cdot 2\pi r = \mu_0 NI$$

$$B = \mu_0 nI$$

$$n = \frac{N}{2\pi r}$$



6.3 安培环路定理作业

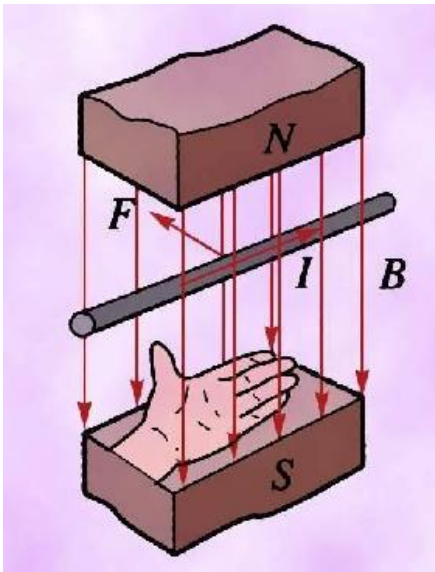
6.22

6.25

6.4.1 安培力

安培力： 磁场对通电导线的作用力

安培定律： $d\vec{F} = I d\vec{l} \times \vec{B}$ $\vec{F} = \int_L I d\vec{l} \times \vec{B}$



导线 $\parallel \vec{B}$, $F = 0$.

导线 $\perp \vec{B}$, $F = F_{\max} = ILB$.

类比电场力, $F = qE$

6.4.1 安培力

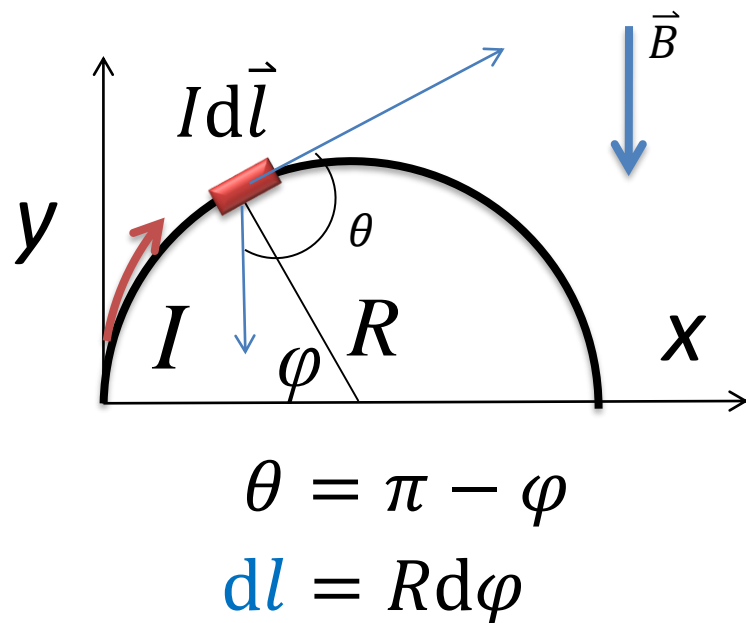
例：在竖直向下的均匀磁场 \vec{B} 中，有一个半径为 R 的半圆形导线，通过该导线的电流为 I 。求导线受力。

1. 判断安培力方向： \otimes

2. 求安培力的大小：

$$\begin{aligned}dF &= I d\vec{l} \times \vec{B} \\&= I dl B \sin \theta \\&= IB \sin \varphi R d\varphi\end{aligned}$$

$$F = \int dF = \int_0^\pi IBR \sin \varphi d\varphi = 2IBR$$



推广：平面载流导线在均匀磁场中受到的力，与其始点和终点相同的**载流直导线**所受的磁场力相同

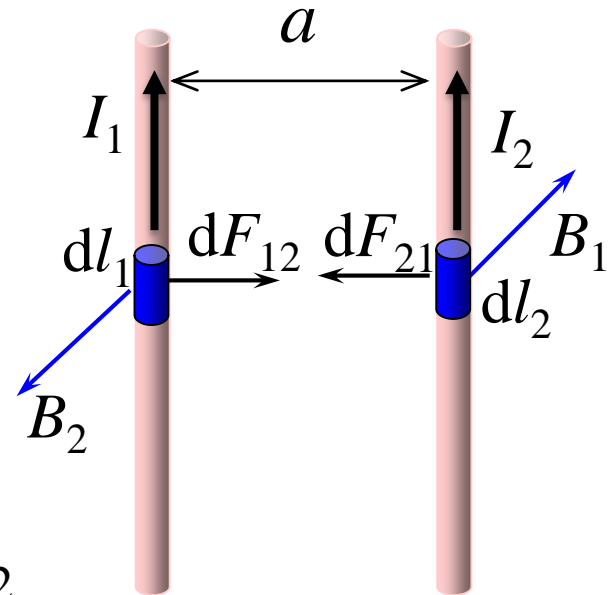
6.4.1 安培力

例：两根平行放置的无限长直载流导线分别通有电流 I_1 ， I_2
求：单位长度上的导线所受的安培力。

$$B_2 = \frac{\mu_o I_2}{2\pi a} \quad B_1 = \frac{\mu_o I_1}{2\pi a}$$

$$dF_{12} = I_1 dl_1 B_2 = \frac{\mu_o I_1 I_2}{2\pi a} dl_1$$

$$\frac{dF_{12}}{dl_1} = \frac{\mu_o I_1 I_2}{2\pi a} \quad \frac{dF_{21}}{dl_2} = \frac{\mu_o I_1 I_2}{2\pi a}$$



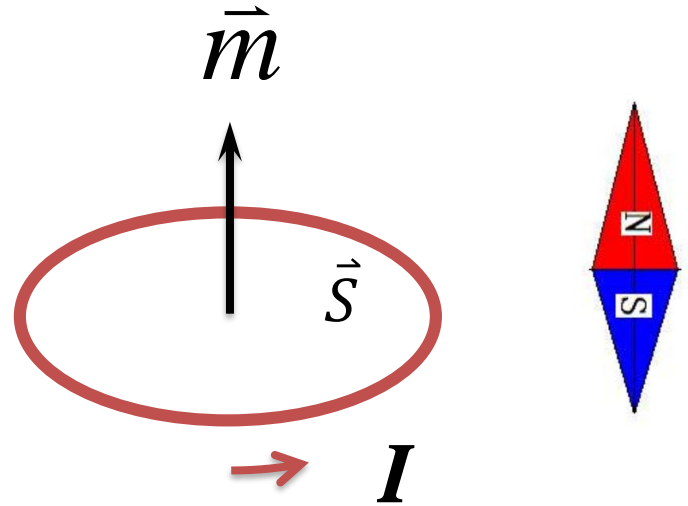
电流反向？

6.4.2 磁场对载流线圈的力矩

通电线圈自身也激发磁场，相当于指南针，“磁偶极子”。

磁偶极矩（磁矩）：

$$\vec{m} = I\vec{S}$$



均匀外磁场下磁力矩：

\vec{S} 方向：右手螺旋

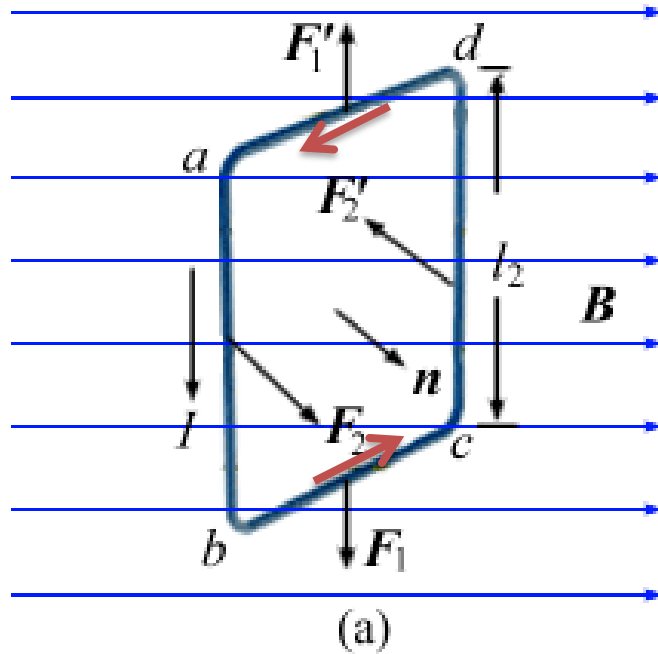
$$\vec{M} = \vec{m} \times \vec{B}$$

电偶极子的电矩： $\vec{p}_e = q\vec{l}$

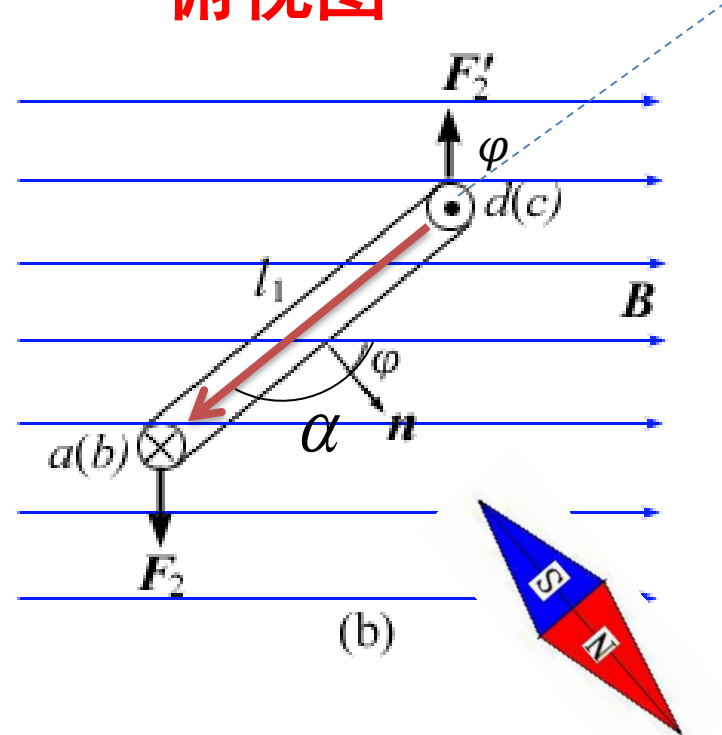
电力矩： $\vec{M} = \vec{p}_e \times \vec{E}$

6.4.2 磁场对载流线圈的力矩

$$\vec{M} = \vec{m} \times \vec{B}$$



俯视图

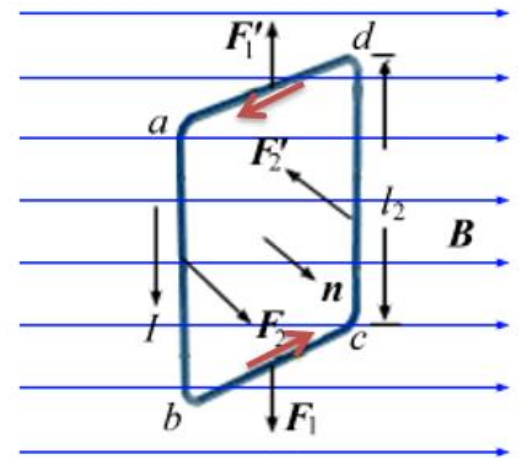


6.4.2 磁场对载流线圈的力矩

$$F_1 = \int dF = \int_0^{l_1} Idl \cdot B \cdot \sin \alpha = \int_0^{l_1} Idl \cdot B \cdot \cos \varphi = Il_1 B \cos \varphi \quad \text{向上}$$
$$F_1' = \int_0^{l_1} Idl \cdot B \cdot \sin(\pi - \alpha) = \int_0^{l_1} Idl \cdot B \cdot \cos \varphi = Il_1 B \cos \varphi \quad \text{向下}$$

F_1 与 F_1' 大小相等，方向相反，且共线，抵消

$$F_2 = F_2' = \int dF = \int_0^{l_2} Idl \cdot B = Il_2 B$$



F_2 与 F_2' 大小相等，方向相反，但不共线，形成力矩

6.4.2 磁场对载流线圈的力矩

线圈所受的力矩：

$$M_2 = \frac{1}{2} l_1 F_2 \sin \varphi = \frac{1}{2} I l_1 l_2 B \sin \varphi$$

$$M'_2 = \frac{1}{2} l_1 F'_2 \sin \varphi = \frac{1}{2} I l_1 l_2 B \sin \varphi$$

$$M = M_2 + M'_2 = I l_1 l_2 B \sin \varphi = I S B \sin \varphi = m B \sin \varphi$$

一个载流线圈

$$\vec{M} = \vec{m} \times \vec{B}$$

任意形状成立

N个载流线圈

$$\vec{M} = N \vec{m} \times \vec{B}$$

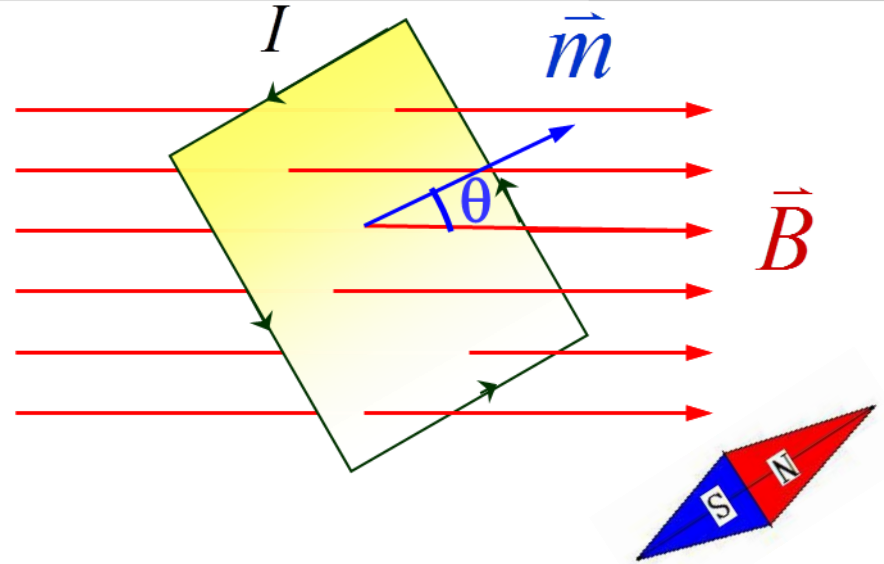
6.4.2 磁场对载流线圈的力矩

线圈磁矩:

$$\vec{m} = IS\vec{e}_n$$

磁力矩:

$$\vec{M} = \vec{m} \times \vec{B}$$



力矩的大小: 与本身磁矩, 外磁场, 两者夹角有关

$$\vec{m} \perp \vec{B} \rightarrow M = mB \quad \text{最大} \quad \boxed{\theta = \pi / 2}$$

$$\vec{m} // \vec{B} \rightarrow M = 0 \quad \text{最小} \quad \boxed{\theta = 0 \text{ 或 } \theta = \pi}$$

电动机: 通电线圈在磁场中受力矩作用。

6.4.3 磁场对运动电荷的作用

洛伦兹力：速度 \vec{v} 运动的带电量 q 的运动电荷在磁场中受到的磁场力

$$\vec{F} = q\vec{v} \times \vec{B}$$

既有电场，也有磁场：

$$\vec{F} = q(\vec{E} + \vec{v} \times \vec{B})$$

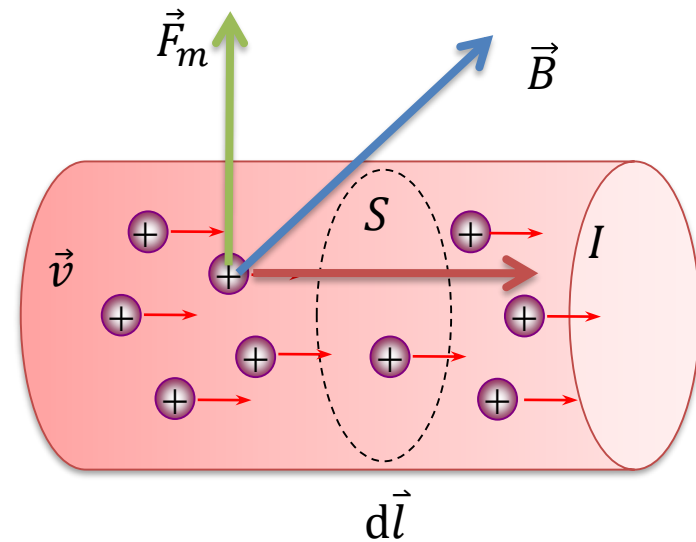
洛伦兹力不做功：始终与力垂直，只改变运动方向。

导体内大量电子受**洛伦兹力**是电流受**安培力的原因**。？！

正电荷向右运动，洛伦兹力向上移动电子，**做正功**。

正电荷向上运动，洛伦兹力产生向左分量，**做负功**。

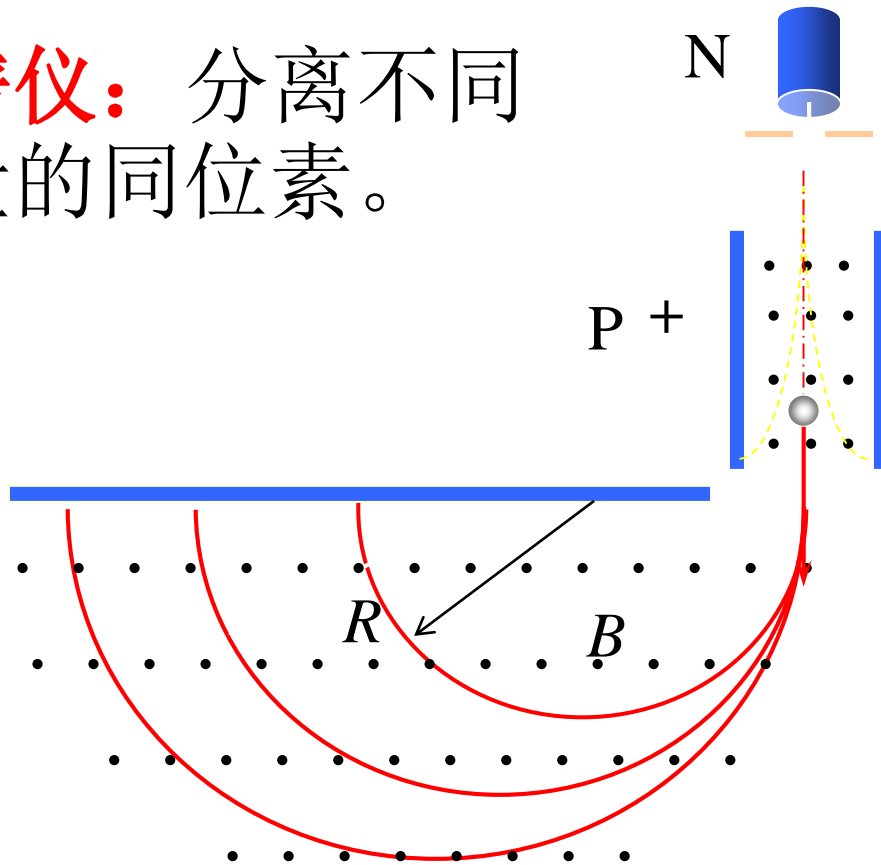
洛伦兹力的总功为零，**电能转化为导体的机械能**。



6.4.3 磁场对运动电荷的作用

电荷在均匀磁场中运动

质谱仪：分离不同质量
质量的同位素。



$$v = \frac{E}{B'}$$

$$qvB = m \frac{v^2}{R}$$

$$R = \frac{mv}{qB}$$

可用半径来区分质量

$$T = \frac{2\pi R}{v} = \frac{2\pi m}{qB}$$

周期与速度无关

6.4.3 磁场对运动电荷的作用

霍尔效应： 通电金属片放入与电流垂直的均匀磁场后，与电流和磁场垂直的两端产生电势差。

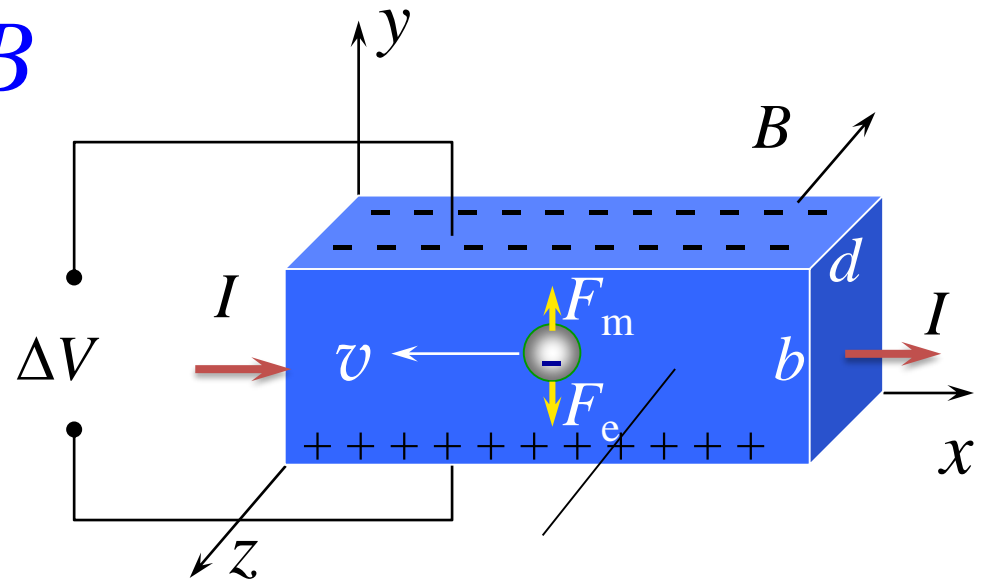
$$F_e = eE_H \quad F_m = evB$$

霍尔电场和洛伦兹力
平衡时：

$$eE_H = evB$$

两极板间的电压：

$$U_H = E_H b = vBb$$



运动信息 \rightarrow 电压

速度传感器、测磁场、判断载流子类型等

6.4 作业

6.29

6.30